

01; 04

© 1992

К ВОПРОСУ О НЕУСТОЙЧИВОСТИ НА ЗАПЕРТЫХ ЧАСТИЦАХ В ОТКРЫТЫХ СИСТЕМАХ

А.Г. З а х а р о в, В.И. Х в е с ю к

В связи с успешными экспериментальными исследованиями на установках ТМХ, ТМХ-У, ГАММА-10 оправдан интерес к исследованию возможности создания малорадиоактивного термоядерного реактора на основе амбиполярных ловушек. Эти системы имеют ряд важных достоинств, в частности в них достижимо необходимое для D^3He синтеза высокое значение $\beta = 8 \mu P/B^2$. Поэтому представляется важным проведение детального анализа подобных систем.

Одной из проблем удержания плазмы в открытых системах является возможность раскачки неустойчивости на запертых частицах электростатической природы. Возникновение этой неустойчивости наблюдалось в экспериментах [1]. В данной работе представлены предварительные результаты ее численного исследования. Используемый метод позволяет определить спектр колебаний, инкременты нарастания различных мод, а также аксиальную структуру каждой моды, что важно для идентификации этого вида неустойчивостей в эксперименте.

Опубликованные к настоящему времени теоретические работы [2] посвящены главным образом анализу общей системы уравнений и не касались вопросов изучения этих неустойчивостей применительно к конкретным системам с фиксированными значениями параметров.

Исходная система уравнений имеет вид:

$$\frac{\partial f_{e,i}}{\partial t} + \vec{v} \nabla \vec{f}_{e,i} + \frac{e}{M_{e,i}} \left(\vec{E} + \frac{1}{c} [\vec{v}, \vec{B}] \right) \frac{\partial f_{e,i}}{\partial \vec{v}} = 0, \quad (1)$$

$$d\vec{v} \cdot \vec{E} = 4\pi n_e \left[\int f_e d\vec{v} - \int f_i d\vec{v} \right], \quad (2)$$

где $f_d = F_d(\mathcal{E}, \mu, \psi)$, \mathcal{E} – полная энергия частицы, μ – магнитный момент, ψ – потоковая координата.

Пространственная неоднородность $f_{e,i}$ учитывается как в осевом, так и в радиальном направлениях магнитной системы.

При решении кинетического уравнения для ионов использовалась следующая функция распределения:

$$F_i = n e \exp \left[-\frac{M_i E_i}{T_i} \right] \left(\frac{\mu B_{max}}{E_i} - 1 \right) Q_i(\psi), \quad (3)$$

$$E_i = \frac{v^2}{2} + \vec{g} \cdot \vec{r}, \quad \vec{g} \text{ – поле силы тяжести.}$$

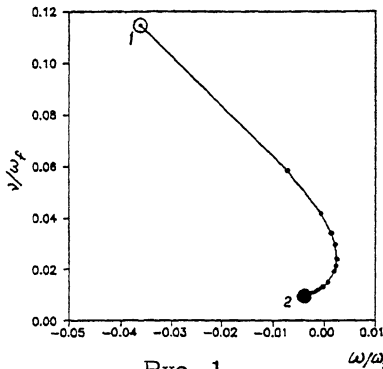


Рис. 1.

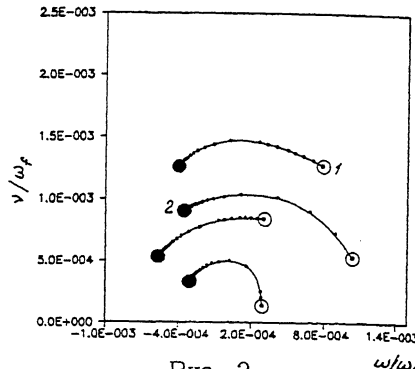


Рис. 2.

1 - $B_{max} = 20.2$ Тл, 2 - $B_{max} = 200$ Тл, ω, γ' - частота и инкремент колебаний, $\omega_f \sim \frac{\omega_c \rho_i}{L_m}$ - характерная частота (инкремент) желобковой моды возмущения, где L_m - длина изменения поля в пробке, ρ_i - ларморовский радиус ионов.

Функция распределения электронов принималась в виде

$$F_e = n \exp\left[-\frac{M_e \epsilon_e}{T_e}\right] Q_e(\psi), \quad (4)$$

где $\epsilon_e = \frac{v^2}{2} + \frac{e}{M_e} \Phi$, Φ - электрический потенциал, зависящий только от осевой координаты. Выражения (3) и (4) справедливы при условии, что T_e существенно меньше средней энергии ионов.

Возмущение электростатического потенциала предполагалось в виде

$$\varphi = \varphi_0(z) \exp(-i\omega t + im\theta), \quad m \gg 1.$$

При решении (1) использовались два стандартных упрощения:

- а) переход к плоской геометрии $\psi \rightarrow x + \frac{\psi_y}{\omega_c}$ (ω_c - циклотронная частота, $\psi = \varphi_0(z) \exp(ik_y y)$); б) замена реального азимутального дрейфа в неоднородном магнитном поле на дрейф в эффективном "гравитационном" поле ($M_i g$), где $g \approx T_i x / L^2$.

Интегрируя кинетическое уравнение (1) в предположении, что искомые частоты колебаний лежат в области $\omega \tau_\delta \ll 1$ (τ_δ - баунс-период), $|\omega| > \omega_{dr}$, и отбрасывая дифференциальный член в уравнении Пуассона, получаем уравнение квазинейтральности в виде [3]:

$$\sum_{\alpha=i,e} \frac{e^2}{M_\alpha} \int \frac{B}{\nu_{||}} d\mu d\epsilon \left[\left(\varphi_0 - J_0(\overline{\varphi_0 J_0}) \right) \frac{\partial F_\alpha}{\partial \epsilon} + \varphi_0 (1 - J_0^2) \frac{1}{B} \frac{\partial F_\alpha}{\partial \mu} \right] -$$

$$-\frac{1}{\omega} \left[\bar{\omega}_{dr} \bar{\varphi} \frac{\partial F_d}{\partial \xi} + \bar{\varphi} \frac{k_y}{\omega_{cd}} x F_d \right] - \frac{\bar{\omega}_{dr} \bar{\varphi}}{\omega^2} \frac{k_y}{\omega_{cd}} x F_d = 0, \quad (5)$$

где $x = \frac{\partial \ln F}{\partial \xi}$, $m \omega_{dr} = \frac{c k_y M_i g}{e B}$, $J_0(k_1 \rho)$ – функция Бесселя, $\xi = \phi \xi' \frac{\partial r}{\partial l} / \phi \sigma_z^{-1} dl$ – усредненная вдоль траектории частицы величина.

Решение основано на представлении $B(z)$ в виде кусочно-постоянной функции. При этом $\varphi(z)$ также является кусочно-постоянной. Таким образом, уравнение (5) сводится к системе линейных алгебраических уравнений для амплитуд возмущения на отдельных участках. Количество определяемых мод зависит от выбранного числа участков с постоянным B .

Расчеты проводились для цепочки ловушек, состоящей из центральной секции и двух стабилизирующих ячеек („якорей“). Центральная ячейка имеет длину $L=30$ м. Магнитное поле $B_0=10$ Тл и $R=2$ ($B_{max}=20$ Тл). Якорь длиной $L_k=16$ м имеет поле в центре 12 Тл.

На рис. 1, 2 представлены некоторые результаты расчетов для различных значений B_{max} в крайней пробке (от 20.2 до 200 Тл). Это позволяет изучить влияние на параметры неустойчивости относительной доли пролетных частиц. Во всех расчетах значение интеграла устойчивости желобковых мод [4]

$$W = - \int \frac{1}{B^2} \frac{\partial(P_\perp + P_{||})}{\partial \psi} \frac{\partial B}{\partial \psi} \quad (6)$$

было равно +1.

В данных расчетах изучалось поведение пяти аксиальных мод. Одна из них (рис. 1) соответствует пробной функции работы [2]. Остальные моды обнаружены впервые. Они имеют близкие частоты и инкременты (рис. 2). Причем их инкременты на порядок, а характерные частоты на два порядка меньше, чем для первой моды.

Аксиальная структура указанных мод следующая. Первая примерно постоянна в центральной ячейке, снижается в переходной области магнитного поля и спадает до нуля в якоре. Остальные – локализованы в узкой области нарастания поля вблизи пробки центральной ячейки. Интересным фактом является то, что эти моды наблюдаются также и в случае простой ловушки без якорей.

Важным результатом является обнаружение режимов со стабилизированной первой модой возмущения, полученных при определенных соотношениях значения интеграла (6) и параметров системы.

В заключение авторы выражают благодарность В.В. Арсенину за многочисленные полезные обсуждения и советы в ходе выполнения работы.

Список литературы

- [1] G e r v e r M.J., G o l o v a t o S.N., I r b u y J.H., K e s n e r J. // Phys. Fluids B. 1989. V. 1. N 3. P. 608-614.
- [2] Б е р к Г.Л., Р о з е н б л ю т М.Н., У о н г Г.В., А н-т о н с е н Т.М., Б о л д у и н Д.Е. // Физика плазмы. 1983. Т. 9. В. 1. С. 176-183.
- [3] М и х а и л о в с к и й А.Б. Теория плазменных неустойчивостей. Т. 2. Неустойчивости неоднородной плазмы. М.: Атомиздат, 1971. 312 с.
- [4] K r u s k a l M.D., O b e r m a n C.R. // Phys. Fluids. 1958. V. 1. N 4. P. 275-280.

Поступило в Редакцию
3 июля 1992 г.